



تخمین جریان در خطوط توزیع مبتنی بر میدانهای الکترومغناطیسی محیطی

سید محمد شهرتاش

سید علیرضا داوری

قطب علمی اتوماسیون و بهره برداری سیستمهای قدرت

دانشگاه علم و صنعت ایران

ماکسول^۲ جهت محاسبات میدانهای الکترومغناطیسی استفاده شود [۸]-[۱۱].

حال اگر میدان الکتریکی و یا مغناطیسی ورودی بر روی سطح هادی در تعداد نقاط معین معلوم باشد، می‌توان با تقسیم طول هادی به تعداد نقاطی که میدانهای ورودی در آنها معلوم است و حل عددی معادلات دیفرانسیلی میدان‌های الکتریکی و یا مغناطیسی، توزیع جریان در طول هادی را محاسبه نمود [۱۲، ۱۳]، و یا در صورتیکه به کمک حسگر‌های مناسب میدانهای الکتریکی و مغناطیسی در نقطه یا نقاطی با مختصات معلوم (نسبت به سه فاز فیدر توزیع) اندازه گیری شده باشند، با تقسیم طول هادی به قسمتهایی و استفاده از معادلات دیفرانسیل حاکم بر توزیع جریان در این قسمتها و میدانهای الکتریکی و مغناطیسی اندازه گیری شده به تخمین جریان در طول هادی (از خط توزیع) دست یافت.

در این مقاله با فرض وجود نتایج اندازه گیری از یک حسگر نصب شده برای هر فاز فیدر توزیع (و صرف نظر کردن از اثر میدانهای ناشی از جریانهای دو فاز دیگر به دلیل دوری نسبی فاصله آنها)، تخمین توزیع جریان با در نظر گرفتن اثر زمین، اتحانی هادی در حالت نصب و همچنین تأثیر شرایط محیطی مانند دما، رطوبت و فشار بر مبنای روش جدیدی صورت گرفته است و صحت و دقت نتایج نیز با نتایج حاصله از بکار گیری روند محاسبه میدانهای الکتریکی و مغناطیسی با معلوم بودن جریان‌های عبوری از فیدرها که در [۱، ۶ و ۱۲] و [۱۶]-[۱۷] ارائه شده اند، ارزیابی گردیده است.

شایان ذکر است کاربرد این روش تهیه نرم افزار برای دستگاه دیجیتالی اندازه گیری جریان در شاخه‌های مختلف شبکه توزیع یک سیستم اندازه گیری گسترش دهنده (Wide Area Distribution System Monitoring) و گسترش دهنده (Wide Area Distribution System Protection) می‌باشد.

II. تئوری

شکل ۱ نشان دهنده سیم مستقیم حامل جریان در راستای محور Z باشد. میدان الکترومغناطیسی ناشی از این جریان (و تصویر آن که بینگر اثر زمین است) در نقطه دلخواه p مورد نظر است.

برای محاسبه میدانهای الکتریکی و میدانهای مغناطیسی در محیط اطراف هادی حامل بار الکتریکی و جریان الکتریکی روش‌های گوناگونی پیشنهاد شده اند. برخی از این روشها بر اساس اصول شبه استاتیک بیان شده اند و در فرکانسی‌های پایین معتبرند. حالت ماندگار سیستمهای قدرت را نیز می‌توان

چکیده- در این مقاله روشی نوین برای تخمین جریان خطوط توزیع مبتنی بر اندازه گیری میدانهای الکترومغناطیسی محیطی ارائه شده است. پس از اندازه گیری میدان الکتریکی و مغناطیسی در نقطه ای مشخص، معادلات دیفرانسیلی میدانهای الکتریکی و مغناطیسی با روش‌های عددی حل شده و توزیع جریان بوجود آورنده میدان بدست می‌آید. کاربرد این روش تهیه نرم افزار برای دستگاه‌های دیجیتالی اندازه گیری جریان در شاخه‌های مختلف شبکه توزیع و تشخیص و مکان یابی اتصال کوتاه در یک سیستم اندازه گیری و حفاظتی گسترش دهی باشد. صحت روش بر اساس محاسبه معکوس توزیع جریان در طول خط از میدان الکترومغناطیسی محاسبه شده در اطراف خط توزیع ۲۰ کیلو ولت، ارزیابی و دقت روش اثبات گردیده است.

I. مقدمه

همراه با گسترش دشدن شبکه‌های قدرت، اندازه گیری میدانهای الکترومغناطیسی ناشی از خطوط انتقال و توزیع، برای اهداف مختلف از جمله تعیین حریم، بررسی سازگاری الکترومغناطیسی و همچنین محاسبه جریان بوجود آورنده میدان مورد توجه قرار گرفت. محاسبه جریان بر مبنای میدان‌های مغناطیسی در فاصله بسیار نزدیک، در ترانسفورماتورهای جریان حلقه شونده به دور هادی معمول است. این نوع از ترانسفورماتورهای جریان چه از نوع اثر هال باشند و چه دارای سیم پیچ و هسته، فقط به نشان دادن جریان عبوری هادی حلقه زده شده قادر هستند. علاوه بر این حلقه ای بودن این نوع دستگاه باعث می‌شود تا نصب، تعویض و نگهداری آن با مشکلاتی همراه باشد.

اگر میدانهای الکترومغناطیسی در نقاط دور از هادی حامل جریان اندازه گیری شوند، می‌توان با معکوس نمودن روند روش‌های محاسبه میدانهای الکترومغناطیسی در اطراف خطوط انتقال و توزیع، به توزیع جریان بوجود آورنده میدان دست یافت. شایان ذکر است که از دهه ۱۹۷۰ میلادی تاکنون، روش‌های بسیاری به منظور اندازه گیری میدانهای اطراف خطوط انتقال ارائه گشته است. ساده ترین روش برای محاسبه میدان مغناطیسی در حالت شبه استاتیک، بهره گیری از قانون بیوساوار^۱ است [۱]. این روش در فرکانسی‌های نزدیک به صفر تقریب مناسبی را از میدان مغناطیسی ناشی از سیم حامل جریان بدست می‌دهد. در برخی از روش‌ها، از پارامترهای الکتریکی خط انتقال برای محاسبه میدانهای الکترومغناطیسی استفاده می‌شود [۵-۲]. مشابه روش بیوساوار، روش‌هایی شبه استاتیک برای محاسبه میدانهای الکتریکی نیز وجود دارند. در این روشها تنها از توزیع بار الکتریکی جهت محاسبه میدان الکتریکی بهره گیری می‌شود [۷-۶]. برای افزایش دقت محاسبات بهتر است از قوانین

²-Maxwell

¹ - Biot Savart



انجمن مهندسین برق و الکترونیک ایران
شاخه‌ی تهران

کمیت برداری (طبق رابطه ۳) تعریف شود. این کمیت برداری همان بردار پتانسیل مغناطیسی است [۱۷].

$$B = \nabla \times A \quad (3)$$

در حالیکه B چگالی شار مغناطیسی و A پتانسیل مغناطیسی برداری می‌باشد. پتانسیل مغناطیسی برداری از حل معادله دوم موج ناهمگن هلム هولتز^۱ بدست می‌آید. معادله دوم موج ناهمگن و جواب آن برتریب در روابط ۴ و ۵ نشان داده شده‌اند.

$$\nabla^2 A + k^2 A = -\mu J \quad (4)$$

$$A = \frac{\mu}{4\pi} \int \frac{e^{-jkR}}{R} J(x', y', z') dx' dy' dz' a_J, \quad (5)$$

$$k = \omega \sqrt{\mu \epsilon}$$

$$R = \sqrt{(x - x')^2 + (y - y')^2 + (z - z')^2}$$

در حالیکه k ثابت انتشار محیط، μ, ϵ ثوابت نفوذ پذیری برتریب الکتریکی و مغناطیسی محیط، J چگالی جریان و a_J بردار یکه در جهت چگالی جریان می‌باشد (x, y, z) مختصات نقطه میدان و (x', y', z') مختصات المان دیفرانسیل منبع می‌باشد.

با بکار گیری روابط ۳ و ۵ در مورد هادی مستقیمی که در راستای محور Z در فضای آزاد امتداد یافته است و نقطه میدان مغناطیسی بر روی محور X واقع می‌باشد. (مشابه شکل ۲)، مؤلفه عمودی میدان مغناطیسی از رابطه ۶ بدست می‌آید.

$$B_y = \frac{\mu_0}{4\pi} \int [(x - x') e^{-jkR}] \left(\frac{jk}{R^2} + \frac{1}{R^3} \right) I(z') dz' a_y \quad (6)$$

در حالیکه I فازور جریان می‌باشد.

در این رابطه با فرض آنکه قطر هادی نسبت به طول سیم و طول موج ناچیز می‌باشد، از قانون سیم نازک^۲ استفاده شده و جریان خطی فرض شده است.

ب) معادلات میدان الکتریکی

مشابه آنچه در مورد میدانهای مغناطیسی بحث شد، میدانهای الکتریکی را نیز در حالت شبیه استاتیک میتوان از رابطه زیر بدست آورد.

$$E = \frac{\rho}{4\pi\epsilon_0} \oint_C \frac{dl \cdot a_R}{R^2}, \quad (7)$$

$$R = \sqrt{(x_1 - x'_1)^2 + (y_1 - y'_1)^2 + (z_1 - z'_1)^2}$$

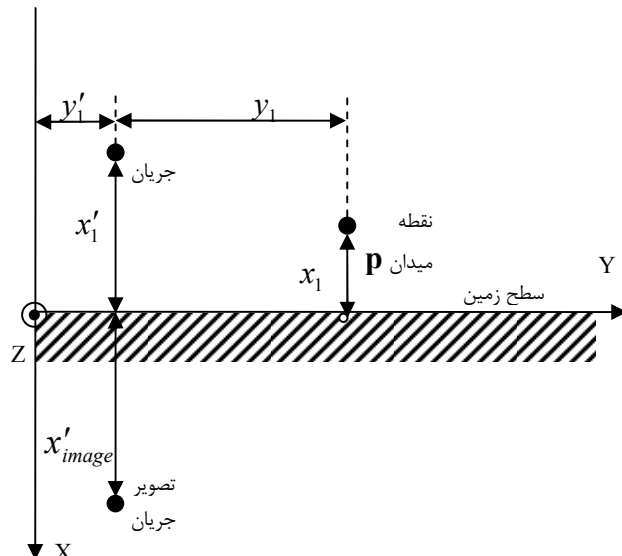
در حالیکه E شدت میدان الکتریکی و ρ چگالی بار الکتریکی و ϵ_0 ضریب نفوذ پذیری الکتریکی فضای آزاد هستند. (بقیه پارامترهای رابطه ۷ همانند رابطه ۱ می‌باشند).

اگر رابطه ۷ در مورد شکل ۱ که در آن بجای جریان، چگالی بار الکتریکی جایگزین شده است، بکار رود رابطه ۸ بدست می‌آید.

$$E = \frac{\rho}{2\pi\epsilon_0 R} - \frac{\rho}{2\pi\epsilon_0 R_{im}} \quad (8)$$

در حالیکه R فاصله شعاعی هادی تا نقطه میدان و R_{im} فاصله شعاعی هادی مجازی تصویر تا نقطه میدان هستند.

در مورد میدانهای الکتریکی نیز برای افزایش دقت میتوان از روابط کامل و واپسی به فرکانس بهره گیری نمود. مجموع شدت میدان الکتریکی و مشتق



شکل ۱: سیم حامل جریان، تصویر آن و نقطه ناظر در مختصات دکارتی

شامل فرکانسهای شبیه استاتیک دانست و از قوانین آن استفاده نمود. اما امروزه با توجه به پیشرفت قدرت پردازش و سرعت سیستم‌های ریز پردازنده، استفاده از معادلات کامل ماکسول جهت حصول دقت بیشتر نیز کاری متداول است.

الف) معادلات میدان مغناطیسی

ساده ترین راه برای محاسبه میدان مغناطیسی در فرکانسهای شبیه استاتیک، قانون بیوساوار است. با این روش میدان مغناطیسی در نقطه ای حول سیم حامل جریان از رابطه زیر بدست می‌آید.

$$B = \frac{\mu_0 I}{4\pi} \oint_C \frac{dl \times a_R}{R^2}, \quad (1)$$

$$R = \sqrt{(x_1 - x'_1)^2 + (y_1 - y'_1)^2 + (z_1 - z'_1)^2}$$

در حالیکه μ_0 ضریب نفوذ پذیری مغناطیسی فضای آزاد، C مسیر انتگرال گیری، dl المان دیفرانسیل طول در جهت جریان، R فاصله میان منبع و نقطه میدان، a_R بردار یکه در جهت R و I اندازه جریان می‌باشد. (x_1, y_1, z_1) مختصات ناظر و با همان نقطه میدان و (x'_1, y'_1, z'_1) مختصات منبع می‌باشد.

رابطه ۱ برای هر سیم حامل جریان با هر شکلی صادق است. اگر این رابطه در مورد شکل ۱ که شامل سیم با طول بسیار بزرگ و تصویر آن می‌باشد بکار گرفته شود، میدان مغناطیسی منتجه در نقطه p از رابطه زیر بدست می‌آید.

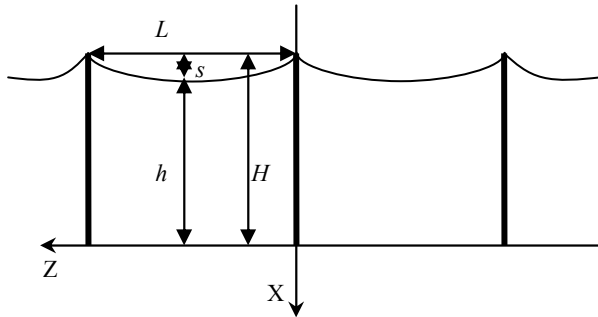
$$B = \frac{\mu_0 I}{2\pi R} - \frac{\mu_0 I}{2\pi R_{im}} \quad (2)$$

در حالیکه R فاصله شعاعی هادی تا نقطه میدان و R_{im} فاصله شعاعی هادی مجازی تصویر تا نقطه میدان هستند. در حالت شبیه استاتیک فاصله هادی مجازی تصویر تا سطح زمین برابر فاصله هادی اصلی تا سطح زمین در نظر گرفته می‌شود.

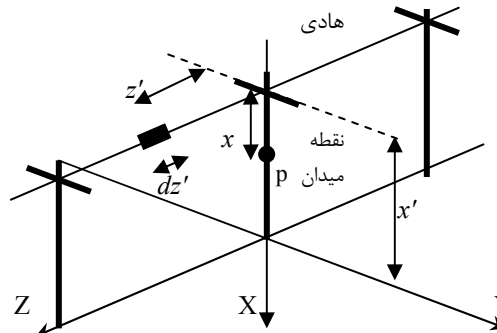
برای افزایش دقت محاسبات می‌توان از روابط کامل میدانهای الکترومغناطیسی بهره گرفت. میدان مغناطیسی می‌تواند بصورت کل یک

¹-Helmholtz

²-Thin wire



شکل ۳: نمایش هندسی خط دارای انحنای



شکل ۲: اندازه گیری میدان ناشی از هادی بر روی محور Z، در نقطه ای روی محور X

با بکار گیری رابطه ۱۳ در شکل ۲، مؤلفه عمودی میدان الکتریکی بر حسب جریان بصورت زیر بدست می آید.

$$E_x = \frac{1}{4\pi(j\omega\epsilon)} \int e^{-jkr} \Phi I(z') dz' a_x, \quad (14)$$

$$\Phi = (z - z')(x - x') jk \left(\frac{jk}{R^3} + \frac{2}{R^4} \right) + \frac{jk}{R^4} + \frac{3}{R^5}$$

ج) اثر زمین

برای در نظر گرفتن اثر زمین و جریانهای بازگشتهای باید تصویر هادی نیز در محاسبات وارد شود. اثر فرکانس در فاصله تصویر تا زمین در فرکانس‌های غیر استاتیک نمایان می‌شود. رابطه فاصله تصویر تا زمین با فرکانس بصورت رابطه ۱۵ می‌باشد. این رابطه به عمق پوستی^۳ مشهور می‌باشد [۱].

$$x_{image} = x'_1 + \alpha, \quad (15)$$

$$\alpha = \sqrt{2\delta e^{-\frac{j\pi}{4}}},$$

$$\delta = 503 \left(\frac{\rho_g}{f} \right)^{0.5}$$

در حالیکه x'_1 ارتفاع هادی اصلی و ρ_g مقاومت ویژه خاک می‌باشد.

د) تأثیر انحنای هادی
در موارد واقعی موقعیت فیزیکی هادی به حالتی که در شکل ۲ نمایش داده شده است نمی باشد بلکه هادی بصورت یک سیم آویخته دارای انحنای خواهد بود. برای منظور نمودن اثر انحنای هادی در محاسبات میدانی از معادله یک سیم آویخته استفاده می‌شود.

شکل ۳ نمایانگر یک هادی است که در فواصل مساوی به تیرهایی آویخته شده است. معادله هادی آویخته شده شکل ۳ در رابطه ۱۶ نشان داده شده است [۱۸].

$$x' = \frac{-1}{a} \cosh \left[a \left(z' - \frac{2n-1}{2} L \right) \right] + x_d, \quad (16)$$

$$n = \pm 1, \pm 2, \pm 3, \dots, n_{max}$$

در حالیکه a و x_d از حل همزنمان دو معادله زیر بدست می‌آیند.

$$a = \frac{1}{h + x_d}, \quad (17)$$

$$\frac{H + x_d}{h + x_d} - \cosh \left(\frac{L}{2(h + x_d)} \right) = 0$$

² -Skin depth

پتانسیل مغناطیسی می‌تواند به صورت گرادیان یک کمیت عددی بیان گردد. این کمیت عددی همان پتانسیل الکتریکی عددی است [۱۷].

$$E = -\nabla V - j\omega A \quad (9)$$

در حالیکه V پتانسیل الکتریکی عددی، A پتانسیل مغناطیسی برداری و ω فرکانس زاویه ای می‌باشد. پتانسیل الکتریکی عددی از حل معادله اول موج ناهمگن هلم هولتز بدست می‌آید. معادله اول موج و جواب آن بترتیب در معادلات ۱۰ و ۱۱ آمده‌اند.

$$\nabla^2 V + k^2 V = -\frac{\rho}{\epsilon} \quad (10)$$

$$V = \frac{1}{4\pi\epsilon} \int \frac{e^{-jkr}}{R} \rho(x', y', z') dx' dy' dz', \quad (11)$$

$$k = \omega \sqrt{\mu\epsilon}$$

$$R = \sqrt{(x - x')^2 + (y - y')^2 + (z - z')^2}$$

در حالیکه ρ چگالی بار الکتریکی است.
با بکار گیری روابط ۹ و ۱۱ در مورد هادی مستقیمی که در راستای محور Z در فضای آزاد امتداد یافته است و نقطه میدان الکتریکی بر روی محور X واقع می‌باشد. (مشابه شکل ۲)، مؤلفه عمودی میدان الکتریکی از رابطه ۱۲ بدست می‌آید.

$$E_x = \frac{1}{4\pi\epsilon_0} \int [(x - x')] e^{-jkr} \left[\left(\frac{jk}{R^2} + \frac{1}{R^3} \right) \rho(z') dz' a_x \right] \quad (12)$$

در حالیکه ρ فازور چگالی بار الکتریکی خطی است.
در این رابطه نیز از تغوری سیم نازک استفاده شده و چگالی بار الکتریکی، خطی فرض شده است.

به علت آنکه هادی در جهت محور Z امتداد یافته است و به تبع آن بردار پتانسیل مغناطیسی نیز تنها مؤلفه ای در راستای محور Z خواهد داشت و قسمت دوم سمت راست رابطه ۸ در رابطه ۱۲ صفر خواهد بود.

راه دیگری نیز برای محاسبه میدان الکتریکی وجود دارد و آن این است که با استفاده از شرط لورنتس^۱ رابطه میان بردار پتانسیل مغناطیسی و پتانسیل عددی الکتریکی به رابطه ۹ اعمال شود و رابطه ای که تنها وابسته به بردار پتانسیل مغناطیسی و در نتیجه تنها وابسته جریان است برای میدان الکتریکی بدست آید [۱۴]. رابطه میدان الکتریکی و بردار پتانسیل مغناطیسی در رابطه ۱۳ نشان داده شده است.

$$E = \frac{1}{j\omega\mu\epsilon} [\nabla(\nabla \cdot A) + k^2 A] \quad (13)$$

¹ -Lorentz condition



معادلاتی دست یافت که مجہولات آن جریانها و ولتاژهای قسمتهای مختلف خط نیرو و معلومات آن میدان‌های الکتریکی و مغناطیسی در نقطه میدان می‌باشد. تقسیم بندی خط باید به گونه‌ای صورت گیرد که طول هر یک از قسمتهای آنقدر کوچک باشد تا بتوان جریان و ولتاژ در طول هر قسمت را ثابت فرض نمود. برای تحقق چنین هدفی، باید طول هر قسمت در مقابل کوچکترین طول موج (طول موج مربوط به بزرگترین فرکانس مورد نظر) ناچیز باشد. به عنوان مثال طول هر قسمت می‌تواند یک دهم کوچکترین طول موج مورد محاسبه قرار گیرد.

اگر طول خط به m تقسیم شود، دستگاه معادلات لازم برای تخمین توزیع جریان دارای $2m$ معادله میدانی می‌باشد. مجہولات این دستگاه، جریانها و ولتاژهای m قسمت از خط می‌باشند. (رابطه ۲۲)

$$\begin{bmatrix} z_{1,1} & \cdots & z_{1,m} & z_{1,m+1} & \cdots & z_{1,2m} \\ \vdots & \ddots & \vdots & \vdots & \ddots & \vdots \\ z_{m,1} & \cdots & z_{mm} & z_{m,m+1} & \cdots & z_{m,2m} \\ z_{m+1,1} & \cdots & z_{m+1,m} & z_{m+1,m+1} & \cdots & z_{m+1,2m} \\ \vdots & \ddots & \vdots & \vdots & \ddots & \vdots \\ z_{2m,1} & \cdots & z_{2m,m} & z_{2m,m+1} & \cdots & z_{2m,2m} \end{bmatrix} \cdot \begin{bmatrix} I_1 \\ I_m \\ V_1 \\ V_m \end{bmatrix} = \begin{bmatrix} c_1 \\ c_m \\ c_{m+1} \\ \vdots \\ c_{2m} \end{bmatrix} \quad (22)$$

در حالیکه در روابط I_1, \dots, I_m جریانها و V_1, \dots, V_m ولتاژهای قسمتهای مختلف خط هستند؛ c_1, \dots, c_{2m} میدانهای معلوم در m نقطه می‌باشند. از میان این معادلات معادله اول، رابطه میان جریانهای قسمتهای مختلف و میدان مغناطیسی اندازه گیری شده در یک نقطه، قابل تشکیل می‌باشد. معادله اول در رابطه ۲۳ نشان داده شده است.

$$\sum_{j=1}^m z_{1j} \cdot I_j = H \quad (23)$$

با بدست آوردن روابط میان جریان و ولتاژ هر قسمت با جریان و ولتاژ قسمت مجاور، $2m-2$ معادله دیگر به مجموعه معادلات اضافه می‌شود. معادلات ولتاژ-جریان خطوط انتقال بکار رفته در مورد دو قسمت مجاور در رابطه ۲۴ نشان داده شده است.

$$I_{j-1} = \cosh(\gamma \cdot \Delta z) I_j + \frac{\sinh(\gamma \cdot \Delta z)}{Z_c} V_j, \quad (24)$$

$$V_{j-1} = \cosh(\gamma \cdot \Delta z) V_j + \sinh(\gamma \cdot \Delta z) Z_c I$$

با بکار گیری روابط ۲۳ و ۲۴، تعداد معادلات بدست آمده به $2m-1$ می‌رسد. جهت دستیابی به دستگاه گیری میدان الکتریکی و مجہول بودن ولتاژ ها صرف اول این است که از اندازه گیری میدان الکتریکی و مجہول بودن ولتاژ ها صرف نظر شود و تمام ولتاژها برابر با ولتاژ نامی فرض گردند. در این صورت معادله دوم از رابطه ۲۴ مورد استفاده قرار نمی‌گیرد و بعد دستگاه معادلات به نصف کاهش می‌یابد و تنها با اندازه گیری میدان مغناطیسی میتوان توزیع جریان را محاسبه نمود. راه دوم که از دقت بیشتری برخوردار است، این است که تنها ولتاژ ابتدای خط برابر با ولتاژ نامی قرار گیرد و ولتاژ بقیه قسمتهای مجہول فرض گردند. در این صورت بازهم از بکار گیری حسگر میدان الکتریکی خودداری می‌شود ولی تعداد معادلات دستگاه معادلات دو برابر منهای یک حالتی است که تمام ولتاژها برابر ولتاژ نامی قرار گیرند. روش سوم خودداری از هر گونه پیش فرض است. در این روش باید تمام ولتاژها و جریانها مجہول فرض شوند و هر دو میدان الکتریکی و مغناطیسی مورد اندازه گیری واقع شوند.

در حالیکه در روابط ۱۶ و ۱۷ (x', z') مختصات هادی است و h, H و s مطابق با آنچه در شکل ۳ نشان داده شده است، می‌باشند. n شماره اسپن و علامت آن مناسب با جهت آن می‌باشد. بدین معنا که اگر اسپن در جهت مثبت محور Z باشد علامت آن مثبت است و بالعکس. n_{max} نصف تعداد کل اسپن‌های مورد محاسبه در دو طرف می‌باشد.

با بکار گیری رابطه ۱۶ در معادلات ۳ و ۹ میدانهای مغناطیسی و الکتریکی بدست آمده در روابط ۶، ۱۲ و ۱۴ بصورت زیر تصحیح می‌شوند.

$$B_y = \frac{\mu_0}{4\pi} \int M \cdot \left(\frac{jk}{R^2} + \frac{1}{R^3} \right) I(z') dz' a, \quad (18)$$

$$M = \left[(x - x') + \sinh \left[a \left(z' - \frac{2n-1}{2} L \right) \right] (z - z') \right] e^{-jkR}$$

$$E_x = \left\{ \begin{array}{l} \frac{1}{4\pi\epsilon_0} \int N \cdot \left(\frac{jk}{R^2} + \frac{1}{R^3} \right) \rho(z') dz' + \\ \frac{j\omega\mu}{4\pi} \int \frac{e^{-jkR}}{R} \sinh \left[a \left(z' - \frac{2n-1}{2} L \right) \right] I(z') dz' \end{array} \right\} a_x, \quad (19)$$

$$N = \left[(x - x') e^{-jkR} \right] \left[1 - \sinh \left[a \left(z' - \frac{2n-1}{2} L \right) \right] \right]$$

و یا

$$E_x = \left\{ \begin{array}{l} \frac{1}{4\pi(j\omega\epsilon)} \int e^{-jkR} (\Phi + \Phi') I(z') dz' + \\ \frac{j\omega\mu}{4\pi} \int \frac{e^{-jkR}}{R} \sinh \left[a \left(z' - \frac{2n-1}{2} L \right) \right] I(z') dz' \end{array} \right\} a_x,$$

$$\Phi = (z - z')(x - x') jk \left(\frac{jk}{R^3} + \frac{2}{R^4} \right) + \frac{jk}{R^4} + \frac{3}{R^5},$$

$$\Phi' = \sinh \left[a \left(z' - \frac{2n-1}{2} L \right) \right] \left[\frac{jk}{R^2} + k \frac{(x - x')^2}{R^3} - \frac{3jk(x - x')^2}{R^4} \right. \\ \left. + \frac{1}{R^2} - \frac{3(x - x')^2}{R^5} \right]$$

۵) اثر دما، رطوبت و فشار محیط

ضریب نسبی نفوذ پذیری الکتریکی محیط تابعی از دما، فشار و رطوبت محیط می‌باشد. بنابر این تغییرات این سه کمیت می‌تواند بر میدان الکترومغناطیسی حاصله تأثیر گذارد. رابطه میان ضریب نسبی نفوذ پذیری و کمیت‌های سه گانه مذکور بصورت زیر است [۱۹].

$$\varepsilon_r = 1 + a_1 \frac{P}{T} + a_2 \frac{\rho_w}{T} + a_3 \rho_w, \quad (21)$$

$$a_1 = 1.552 \times 10^{-6} \text{ km}^2/\text{N},$$

$$a_2 = 3.456 \text{ km}^3/\text{kg},$$

$$a_3 = -76.57 \times 10^{-6} \text{ m}^3/\text{kg}$$

در حالیکه P فشار جو، T درجه دمای محیط و ρ_w چگالی رطوبت هوا می‌باشند.

III. تخمین جریان

با اندازه گیری میدان در نقطه میدان و با استفاده از معادلات میدانهای الکتریکی و مغناطیسی (روابط ۱۸ الی ۲۰) و تقسیم هادی به قسمتهایی برای انتگرال گیری عددی معادلات میدان و روابط جریان و ولتاژ قسمتهای مختلف خط که بر اساس معادلات خطوط انتقال بدست می‌آیند، می‌توان به دستگاه